XVII конференция «Математические модели и численные методы в биологии и медицине» г. Москва, ИВМ РАН, 16 – 17 октября 2025 г.

МОДЕЛЬ БРОУНОВСКОЙ ДИНАМИКИ ДИФФУЗИИ ЦИТОХРОМА С В ЛЮМЕНЕ КРИСТЫ МИТОХОНДРИИ



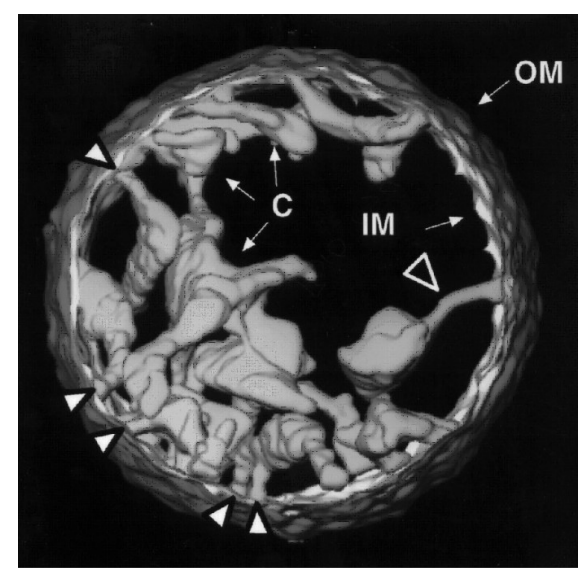
Абатурова А.М., Ризниченко Г.Ю.

Московский государственный университет им. М.В. Ломоносова, биологический ф-т, кафедра биофизики

abaturova@list.ru

Работа выполнена в рамках научного проекта государственного задания МГУ №121032500060-0

Митохондрии



Реконструкция трехмерной структуры митохондрии по серии электронномикроскопических фотографий тонких срезов химически фиксированных митохондрий печени крысы. С.А. Mannella et al., 1998

DOI: 10.1002/biof.5520080309

ДНК внутренняя мембрана наружная мембрана $| \ |$ Внутренняя мембрана O₂+H⁺ H₂O криста NAD⁺+H⁺ NADH Фумарат Сукцинат матрикс межмембранное Матрикс пространство Кребса митохондрии

Схема строения митохондрии

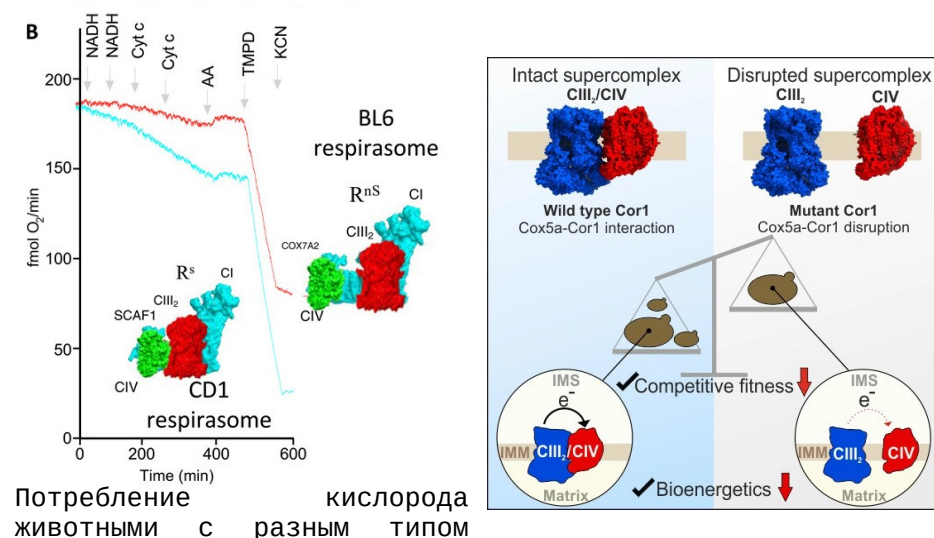
Электронтранспортная цепь митохондрий

Болезни

Изменение толщины люмена кристы при синдроме Лея

по данным криоэлектронной микроскопии

Нарушение структуры респирасом - увеличение расстояния между дыхательными комплексами



респирасом, Enrique

дыхания и снижает выработку

Pablo et al., 2020.

ΑФК

типом Respiratory supercomplexes Calvo enhance electron transport by decreasing cytochrome c DOI: 10.1126/sciadv.aba7509 diffusion distance, Jens Фактор сборки суперкомплекса Berndtsson et al., 2020 SCAF1 повышает эффективность DOI: 10.15252/embr.202051015

Люмен кристы мембрана Наружная мембрана Кристы н 0.2-1μм√ Siegmund S.E. et al., 2018, DOI: 10.1016/ j.isci.2018.07.014 **ATP Synthase**

Матрикс

Схема строения

митохондрии

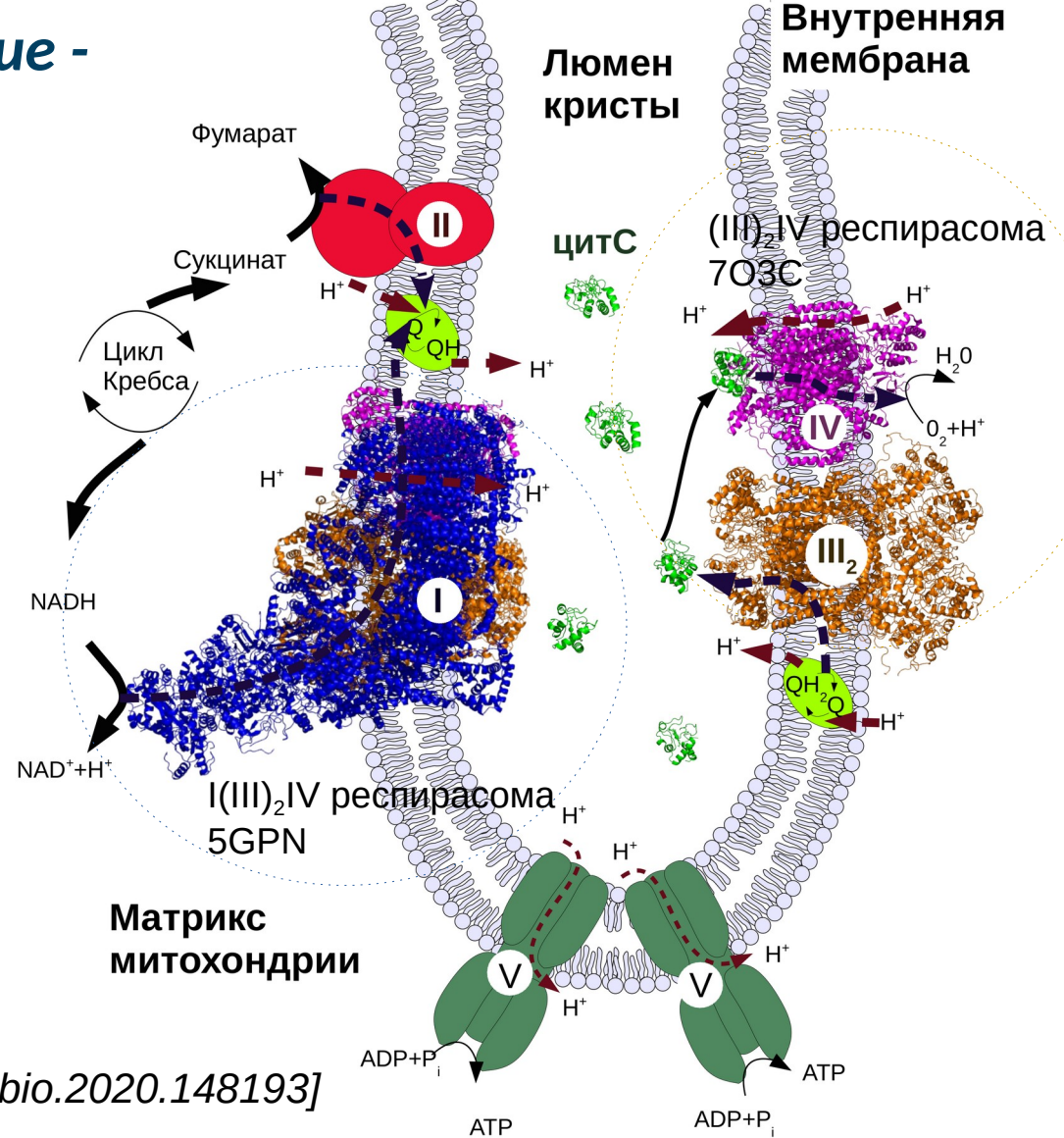
Внутренняя

Толщина люмена кристы (ТЛК) z= 120-160Å

Окислительное фосфорилирование схема строения кристы митохондрии

І — комплекс I (NADH-дегидрогеназа), II — комплекс II (сукцинат дегидрогеназа), цитС — цитохром с, III — комплеРкс III (цитохром-bc1-комплекс), IV — комплекс IV (цитохром с оксидаза), V — комплекс V (АТФ-синтаза), Q — убихинон, QH2 — убихинол. Изображены pdb структуры I(III)2IV респирасомы — 5GPN, (III)2IV респирасомы — 7O3C, комплекса цитС-IV — 5IY5.

Перенос электронна между III и IV лимитирующая стадия

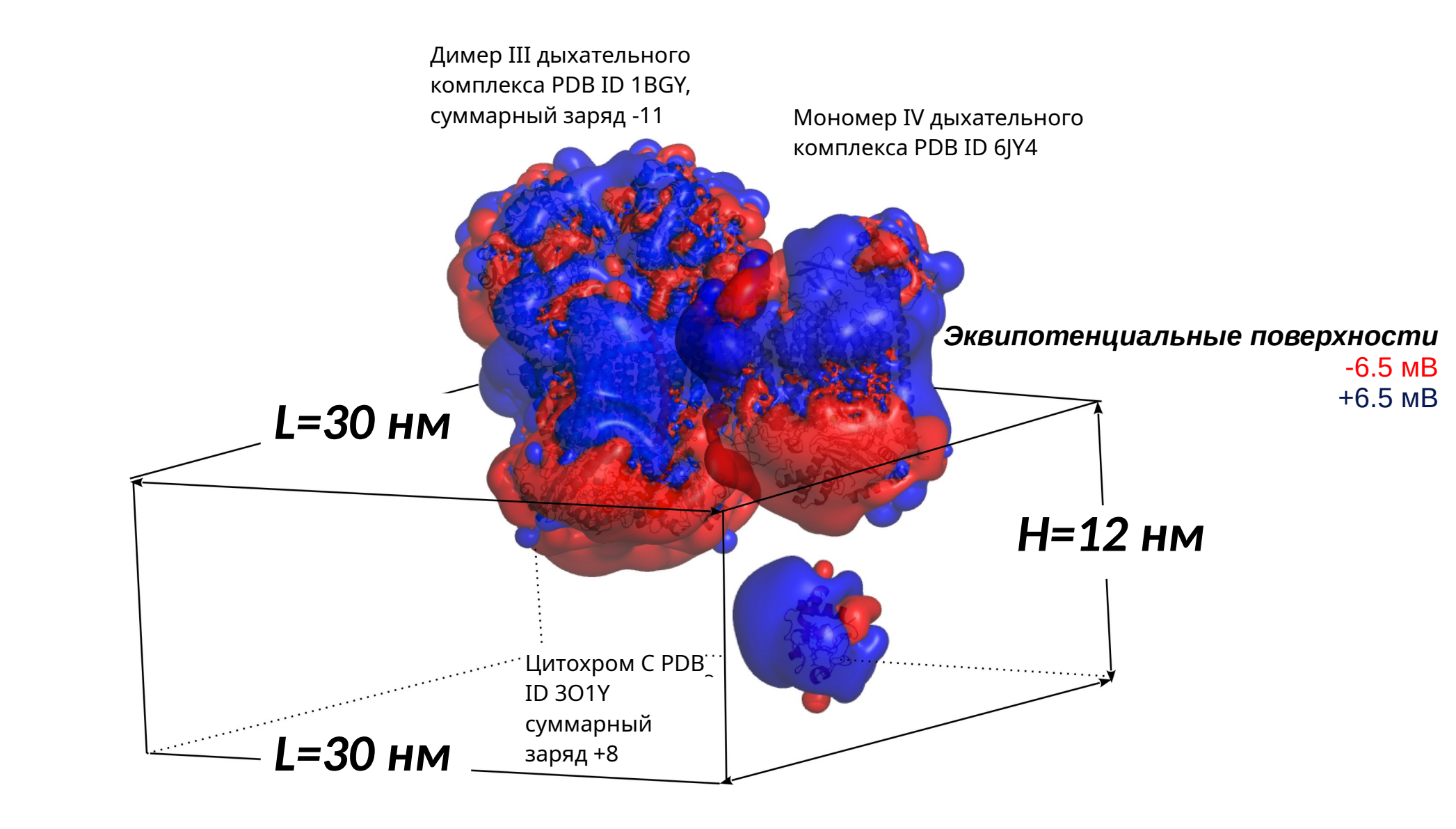


[A.Stuchebrukhov et al., 2020 DOI:10.1016/j.bbabio.2020.148193]

Цель – на модели Броуновской динамики диффузии цитохрома С от IV к III₂ дыхательных комплексов в кристе митохондрии исследовать затруднение транспорта электрона при увеличении расстояния между дыхательными комплексами в респирасоме и при изменении расстояния между мембранами

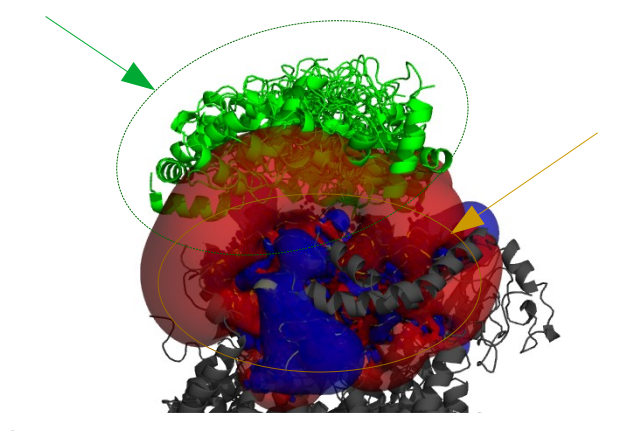
Модель

- Для построения модели использовалась программа броуновской динамики ProKSim (Хрущев С.С. и др., 2013, DOI: 10.20537/2076-7633-2013-5-1-47-64).
- Белки рассматривались как твердые тела, молекулы цитохрома С (PDB ID 3O1Y) двигались под действием случайной броуновской и электростатической сил. Недостающая часть пространственной структуры субъединицы Е димера III дыхательного комплекса (PDB ID 1BGY) была достроенна по гомологии к субъединице Q. Начальное положение молекул цитохрома С относительно IV (PDB ID 6JY4) соответсвовало экспериментальному белок-белковому комплексу 5IY5. Шаг по времени в модели 100 пс, pH=7, ионная сила 130 мМ.
- Заряды на белках расставлялись с помощью силового поля CHARMM36, дополненного параметрами для гема С (Autenrieth F. et al., 2004, DOI: 10.1002/jcc.20079), для железо-серного кластера (Chang C.H. et al., 2009, DOI: 10.1021/ct800342w) и окислительно-восстановительных центров ССО (CuA, геме а, геме а3, CuB Johansson P. et al., 2007, DOI: 10.1002/jcc.20835)
- Цитохром С (цитС) был в окисленном состоянии, цитохром С1 (цитС1) субъединицы Р III₂ в восстановленном, цитС1 субъединицы D III₂ в окисленном состоянии, цитохром С оксидаза (ССО) в полностью восстановленном.



Параметры модели – условия образования предварительного комплекса

Молекулы цитохрома c



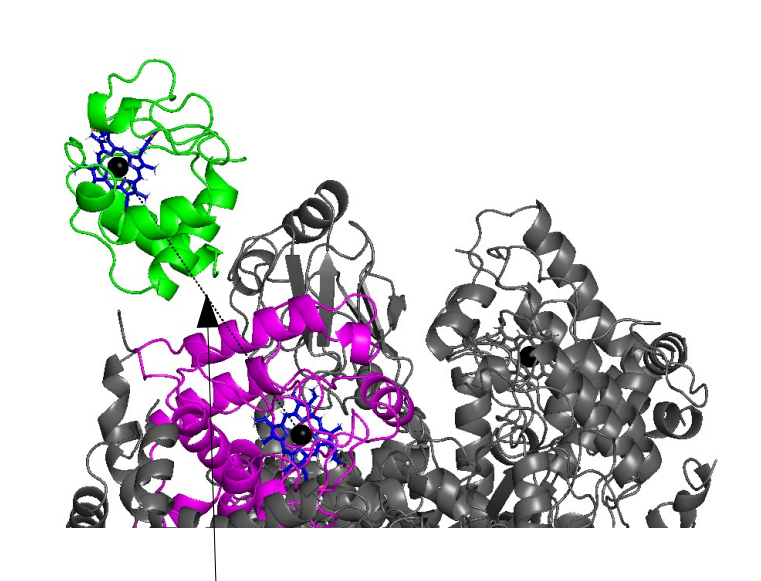
Водорастворимая часть цитохрома *c1*

Эквипотенциальные поверхности

-6.5 мВ

+6.5 MB

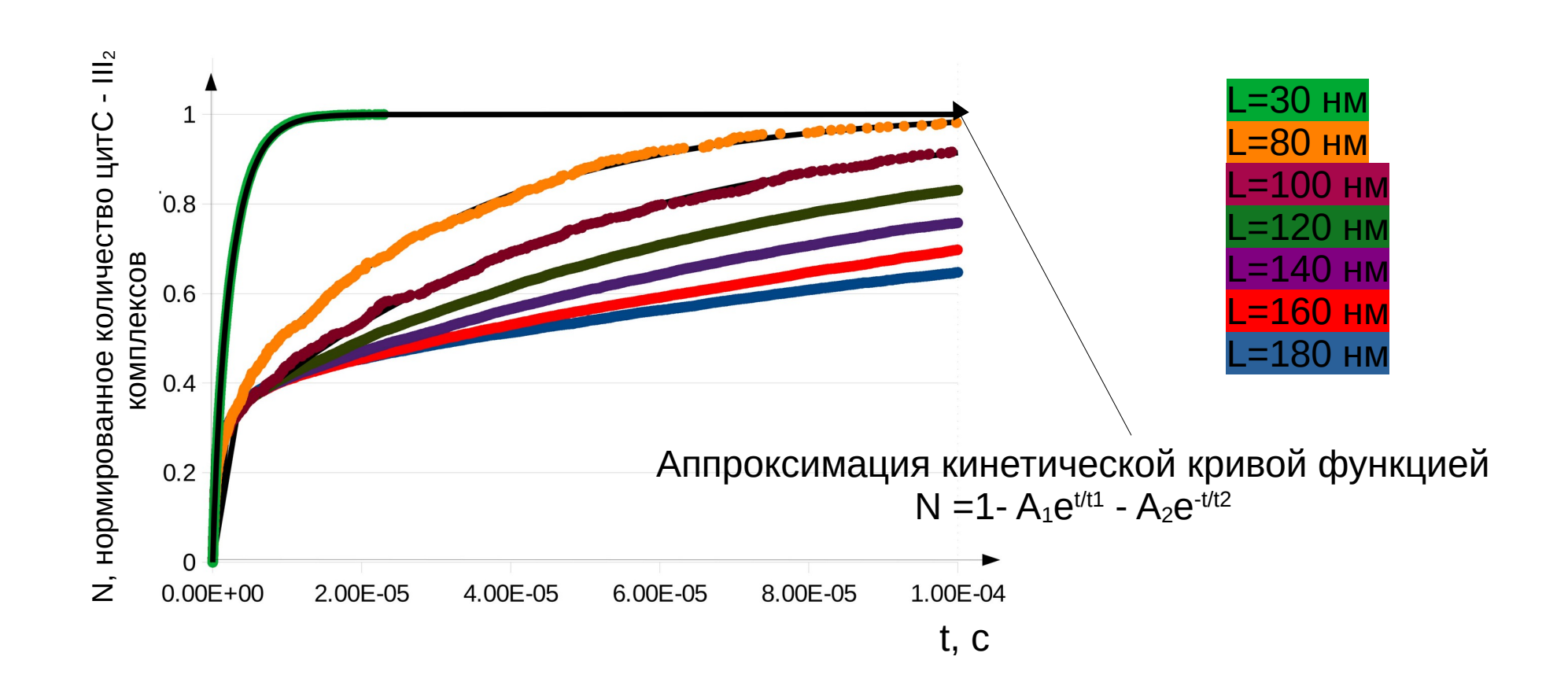
Расположение молекул цитохрома *с* (3O1Y) около цитохрома c1 (1BDY), полученные в модели при ионной силе раствора 130 мМ с энергией электростатического притяжения (E) в комплексе по модулю более 3.4 kt и расстоянием, между редокс-центрами – атомами железа (R), менее 3.5 нм (Abaturova A.M. et al., 2020, DOI: 10.1051/itmconf/20203104001).



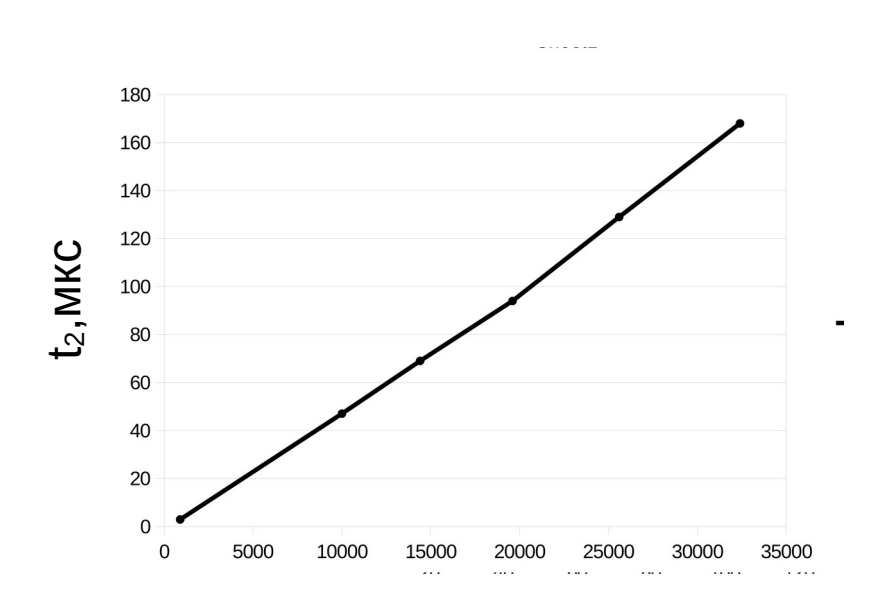
Расстояние, между редокс-центрами – атомами железа (R)=3.5 нм.

Энергия электростатического взаимодествия (E) в комплексе -3.7 kt

Влияние ширины участка кристы на кинетику образования предварительного комплекса цитС и III₂

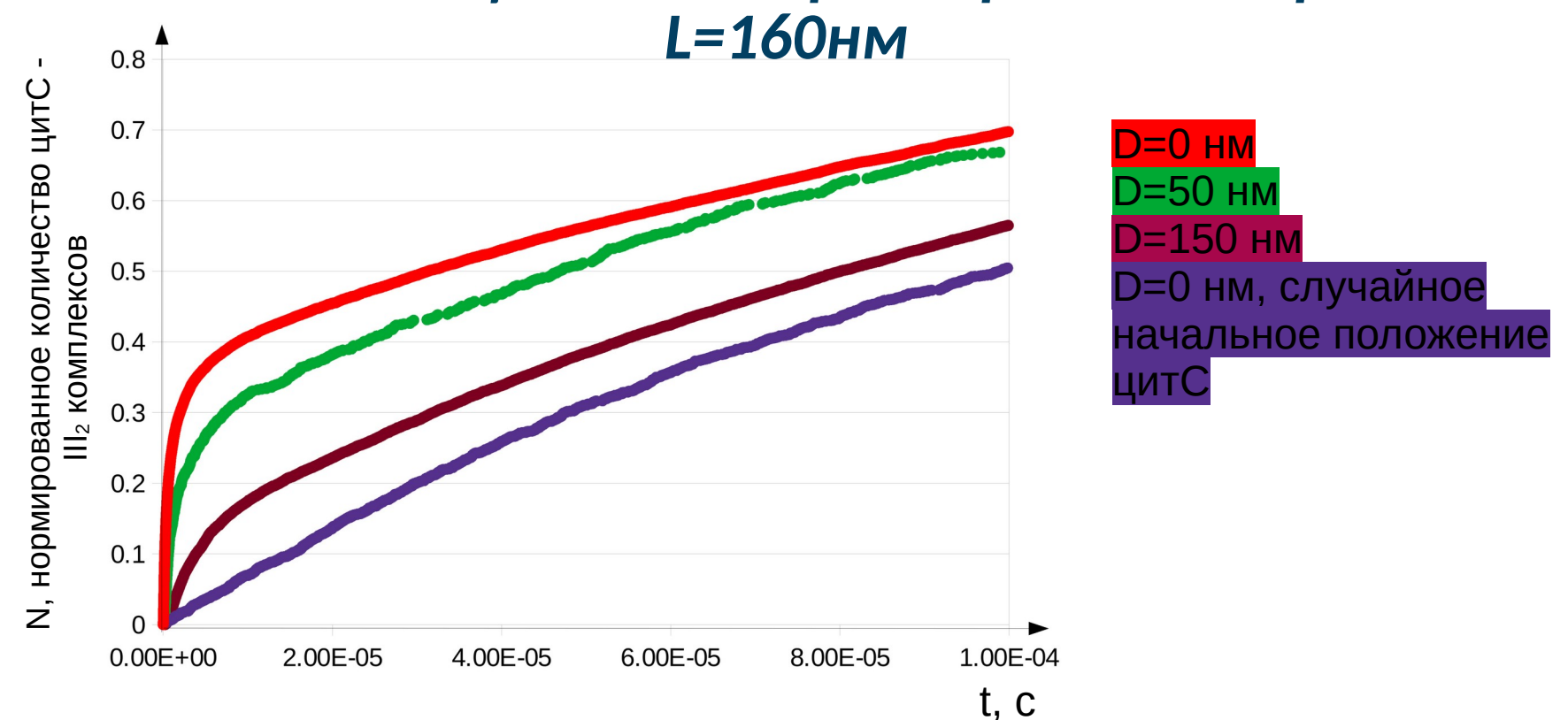


Влияние ширины участка кристы на показатель медленной эксоненты

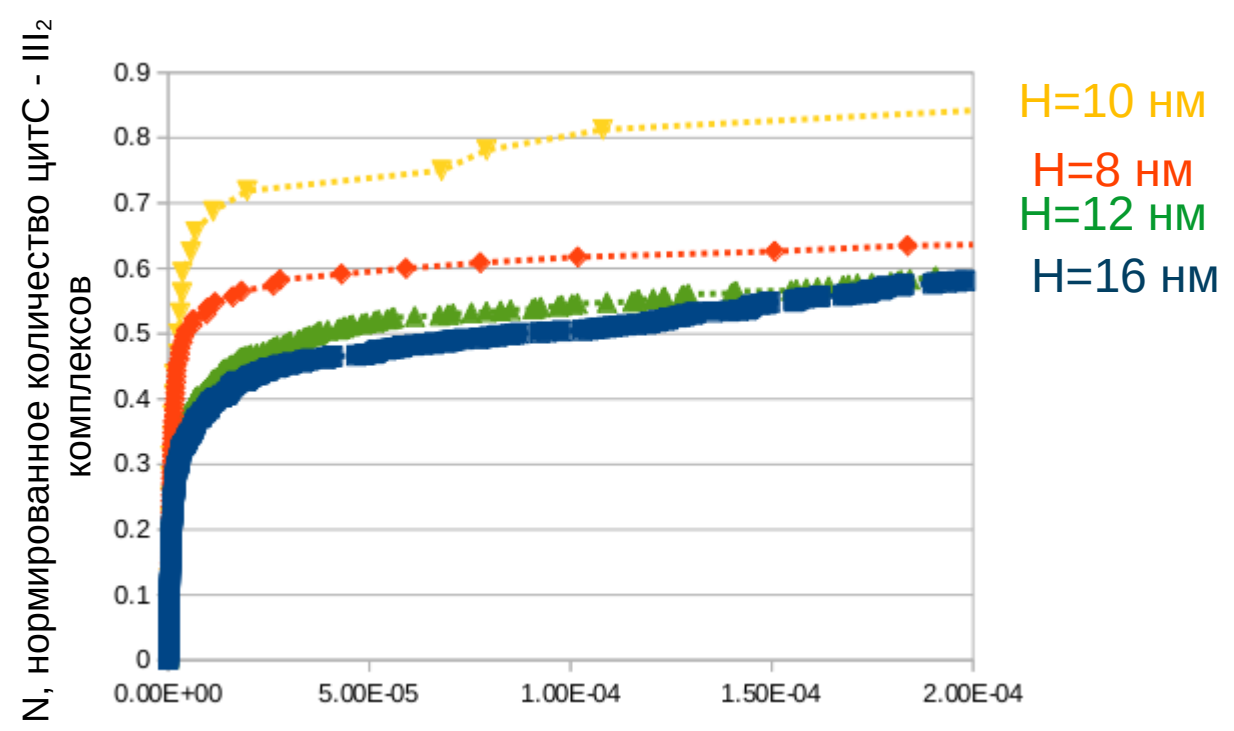


 L^2 , HM^2

Влияние увеличения расстояния между дыхательными комплексами в респирасоме (D) на кинетику образования предварительного комплекса цитС и III₂ при ширине мембраны



Влияние расстояния между мембранами кристы (H) на кинетику образования предварительного комплекса цитС и III₂ при ширине мембраны L=160нм



Результаты

На модели Броуновской динамики было получено замедление транспорта электронов цитохромом С:

- -при уменьшении количества дыхательных комплексов в мембране (т. е. увеличении площади мембраны на респирасому)
- -при увеличении расстояния между дыхательными комплексами в респирасоме
- -при отклонении расстояния между мебранами кристы от 10 нм

Таким образом, модель броуновской динамики показывает, что при синдроме Лея увеличение расстояния между мембранами крист митохондрий может мешать нормальной работе клеточного дыхания.